

## アスファルト混合物の曲げ強度に関する一研究

大阪市立大学工学部 正員○山田 優, 三瀬 貞  
学生員 五十嵐一章, 長谷川康訓

**1. まえがき.** アスファルト舗装の自動車荷重によるひび割れ破壊について検討するのに、アスファルト混合物の曲げ試験結果が有効な資料となる。ひび割れ破壊は比較的低温で起るが、またよりアスファルトの力学性状は温度により大きく変化するので、混合物の試験値をいくつかの温度で求めねばならぬ。曲げ強度を $\sigma_b$ 、破壊ひずみを $\epsilon_b$ 、温度を $T$ とすると、よく知られるように、 $\sigma_b$ ~ $T$ 曲線は山形、 $\log \sigma_b$ ~ $T$ 曲線はゆるいJ字形となり、山の頂点とJ字の変曲点との温度はほぼ一致する。それらの見付近の温度領域を境にして、低温側では脆性破壊、高温側では流動性破壊である。 $\sigma_b$ ~ $T$ の低温側の曲線と高温側の曲線の交点の温度はそれが混和物の脆性点と呼ばれる。ひずみ速度が変わると、また、アスファルトの射入度が変わると、 $\sigma_b$ ~ $T$ や $\log \sigma_b$ ~ $T$ 曲線の形は変らず、ただ、T軸に沿って平行移動するだけであることもよく知られる。

本研究では、その他の要因、すなわち、アスファルト量やフィラーラー量、骨材粒度、締固め密度、供試体下面の状態の違い、さらには、粉末ゴムやアスベストの添加による $\sigma_b$ ~ $T$ 、 $\log \sigma_b$ ~ $T$ 関係への変化について調べた。

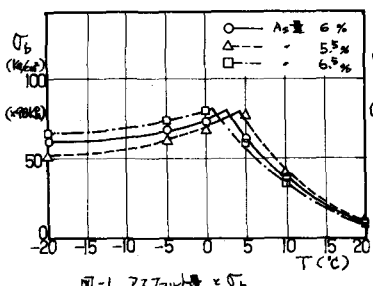
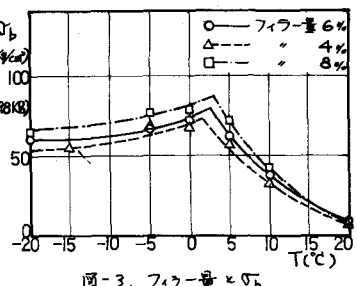
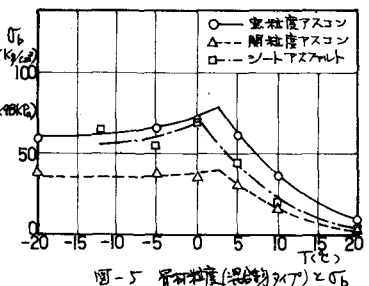
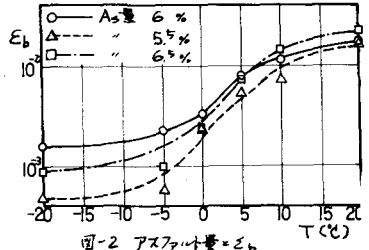
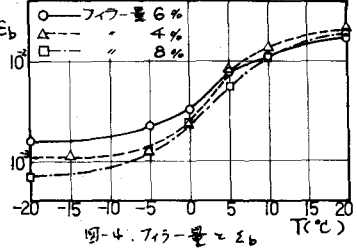
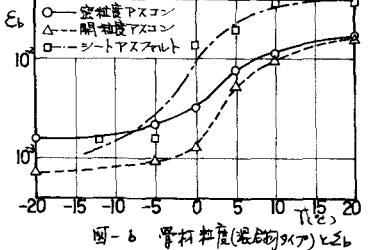
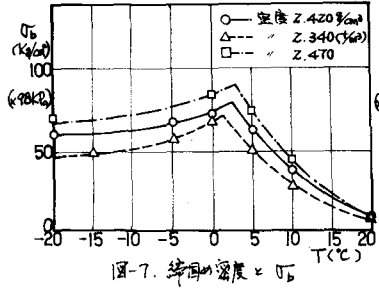
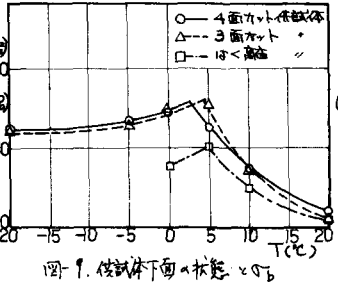
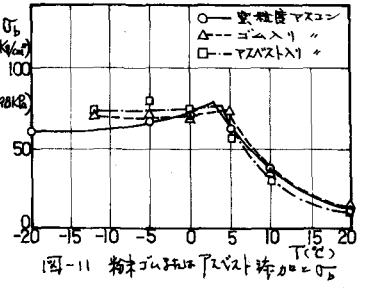
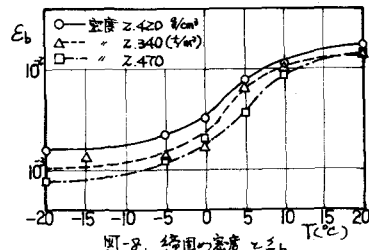
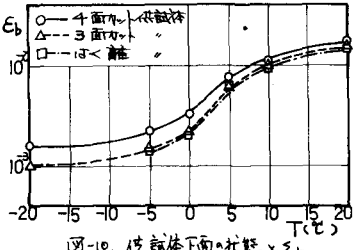
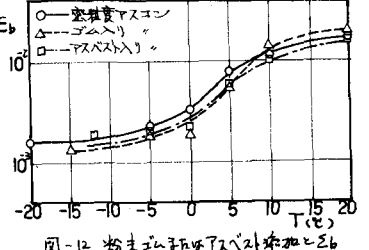
**2. 実験方法.** 射入度61、軟化点47、伸度100以上の中直アスファルト~13mm密粒度アスコン中央粒度の骨材を用い、舗装要綱に従い、混合、締固め温度やアスファルト量(6%)を決め、ローラーコンパクターとホイールラッキン式試験機のトラバース走行によって $300 \times 300 \times 50$ mmの板に締固めた後、 $40 \times 40 \times 300$ mmの直方体に4面カットして作成した供試体を標準として、各要因による変化を調べた。曲げ試験のスパンは270mm、中央点負載荷ひずみ速度 $5.49 \times 10^{-4}$ sec<sup>-1</sup>一定、温度は-20, -10, -5, 0, 5, 10, 20の7段階とした。供試体中央下面の応力ひずみは $\sigma = \frac{P}{b d^2} \times E = \frac{4 d \delta}{l^2}$ から求め、荷重が最大となるときのひずみを曲げ強度 $\sigma_b$ 、その時のEを破壊時ひずみ $\epsilon_b$ とする。

**3. 実験結果と考察.** (1)アスファルト量が標準供試体の6%から0.5%増減するによる変化を図-1, 2に示す。アスファルトが多いほど混合物の脆化点は低くなり、 $\sigma_b$ は低温では大きく、高温では小さく。低温での $\sigma_b$ は標準の6%が一番大きい。これは、アスファルトが多過ぎると締固めがむづかしくなり、骨材密度が小さくなるためと思われる。

(2)フィラーラー量が標準の6%から2%増減するによる変化を図-3, 4に示す。フィラーラーが多いほど $\sigma_b$ は大きくなるが、多過ぎると低温での $\sigma_b$ が小さく、脆くなることを示している。

(3)骨材粒度の違いによる変化をみると、開粒度アスコン(アスファルト量4.5%)とシートアスファルト(アスファルト量11%)についても試験し、結果を図-5, 6に示す。開粒度は密粒度に比べて $\sigma_b$ 、 $\epsilon_b$ ともかなり小さい。シートアスファルトは低温では密粒度と余り変わらないが、高温での $\sigma_b$ が小さく、 $\epsilon_b$ が大きく流動性が大きいことを示している。

(4)締固め密度をコンパクターの転圧回数やトラバースの走行回数によつて変化させて試験  
Masaru YAMADA, Tadashi MISE, Kazuaki IGARASHI (現在北海道農業試験場), Yasunori HASEGAWA (現北海道農業試験場)

図-1. アスファルト量 ×  $\sigma_b$ 図-3. フィラ-量 ×  $\sigma_b$ 図-5. 空気孔度(総孔率) ×  $\sigma_b$ 図-2. アスファルト量 ×  $\varepsilon_b$ 図-4. フィラ-量 ×  $\varepsilon_b$ 図-6. 空気孔度(混練物) ×  $\varepsilon_b$ 図-7. 線団の密度 ×  $\sigma_b$ 図-9. 供試体下面の状態 ×  $\sigma_b$ 図-11. 粉末ゴムやアスベスト添加 ×  $\sigma_b$ 図-8. 線団の密度 ×  $\varepsilon_b$ 図-10. 供試体下面の状態 ×  $\varepsilon_b$ 図-12. 粉末ゴムやアスベスト添加 ×  $\varepsilon_b$ 

これらの結果を図-7, 8に示す。密度が大きくなるほど $\sigma_b$ は大きくなるが、過剰な締固めは $\varepsilon_b$ を小さくし、混合物を脆くすることを示している。

(5) 供試体下面の状態を変えるため、下面をカットしない3面カット供試体と、水浸トラッキングによることでアスファルトをはく離させた供試体について試験し、図-9, 10を得た。カットした面を平滑にするほど $\varepsilon_b$ が大きくなり、アスファルトがはく離すると $\varepsilon_b$ も $\sigma_b$ も小さくなることを示している。

(6) 粉末ゴムやアスベストの添加による変化を図-11, 12に示す。 $\varepsilon_b$ や高温での $\sigma_b$ は余り変わらないが、低温での $\sigma_b$ に少し違いが見られる。

**4. 結論** 上述のようす、配合や作製条件などの違いによつて、 $\varepsilon_b$ ,  $\sigma_b$ へT,  $\varepsilon_b$ へT曲線はT軸方向の移動（脆化度の変化）だけではなく、形もかなり変化するところがわかつた。